

Министерство образования и науки Российской Федерации
Федеральное государственное автономное образовательное учреждение высшего образования

**САНКТ-ПЕТЕРБУРГСКИЙ НАЦИОНАЛЬНЫЙ ИССЛЕДОВАТЕЛЬСКИЙ
УНИВЕРСИТЕТ ИНФОРМАЦИОННЫХ ТЕХНОЛОГИЙ, МЕХАНИКИ И ОПТИКИ**

Факультет систем управления и робототехники

Отчет по лабораторной работе №1
«Моделирование линейных динамических систем»
по дисциплине «Теория автоматического управления»

Выполнил: студент гр. R3238,
Кирбаба Д.Д.

Преподаватель: Перегудин А.А.,
ассистент фак. СУиР

Цель работы

Ознакомление с основными представлениями и принципами построения линейных стационарных динамических систем, а также приемами моделирования в программной среде MATLAB/Simulink.

Начальные данные

13 вариант

Параметры одноканальной модели вход-выход:

| a_0 | a_1 | a_2 | b_0 | b_1 | b_2 |
|-------|-------|-------|-------|-------|-------|
| 2 | 9 | 8 | 8 | 2 | 6 |

Начальные условия одноканальной модели вход-выход: $y(0) = 1$, $\dot{y}(0) = 0.2$, $\ddot{y}(0) = 0.6$

Параметры многоканальной модели вход-выход:

| $a_{11}(p)$ | $a_{12}(p)$ | $a_{21}(p)$ | $a_{22}(p)$ | $b_{11}(p)$ | $b_{12}(p)$ | $b_{21}(p)$ | $b_{22}(p)$ |
|-------------|-------------|-------------|-------------|-------------|-------------|-------------|-------------|
| $p + 16$ | $p + 7$ | $p + 3$ | $p + 8$ | 9 | 3 | 1 | 8 |

Параметры одноканальной модели вход-состояния-выход:

| A | B | C^T |
|--|--|--|
| $\begin{bmatrix} 0 & -3 \\ 1 & -4 \end{bmatrix}$ | $\begin{bmatrix} 3 \\ 7 \end{bmatrix}$ | $\begin{bmatrix} 2 \\ 6 \end{bmatrix}$ |

Начальные условия одноканальной модели вход-состояние-выход: $x_1(0) = 1$, $x_2(0) = 0.6$

Параметры многоканальной модели вход-состояние-выход:

| A | B | C^T |
|--|--|--|
| $\begin{bmatrix} 0 & -3 \\ 1 & -4 \end{bmatrix}$ | $\begin{bmatrix} 3 & 2 \\ 5 & 1 \end{bmatrix}$ | $\begin{bmatrix} 2 & 3 \\ 8 & 5 \end{bmatrix}$ |

Выполнение работы

1. Исследование модели вход-выход

1.1.

Исследуемое дифференциальное уравнение:

$$2\ddot{y} + 9\dot{y} + 8y = 8\ddot{u} + 2\dot{u} + 6u$$

$$2p^2y + 9py + 8y = 8p^2u + 2pu + 6u$$

$$y = 4u + \frac{1}{p}(u - 4.5y) + \frac{1}{p^2}(3u - 4y)$$

Передаточная функция:
$$W = \frac{8p^2 + 2p + 6}{2p^2 + 9p + 8} = 4 - \frac{34p + 26}{2p^2 + 9p + 8}$$

Относительный динамический порядок = 0, тип Proper. Исходя из вида передаточной функции можно предположить, что при вынужденном движении в $t = 0$, значение выхода $y(0) = 4u(0)$.

Схема моделирования одноканальной линейной динамической системы:

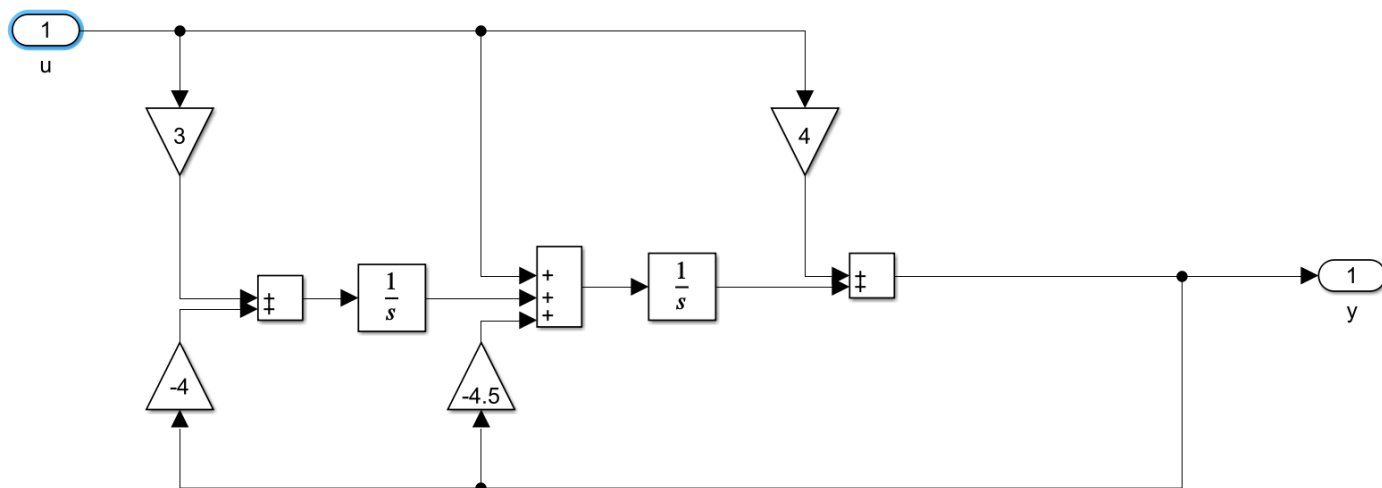


Рисунок 1: Схема моделирования одноканальной линейной динамической системы

1.2.

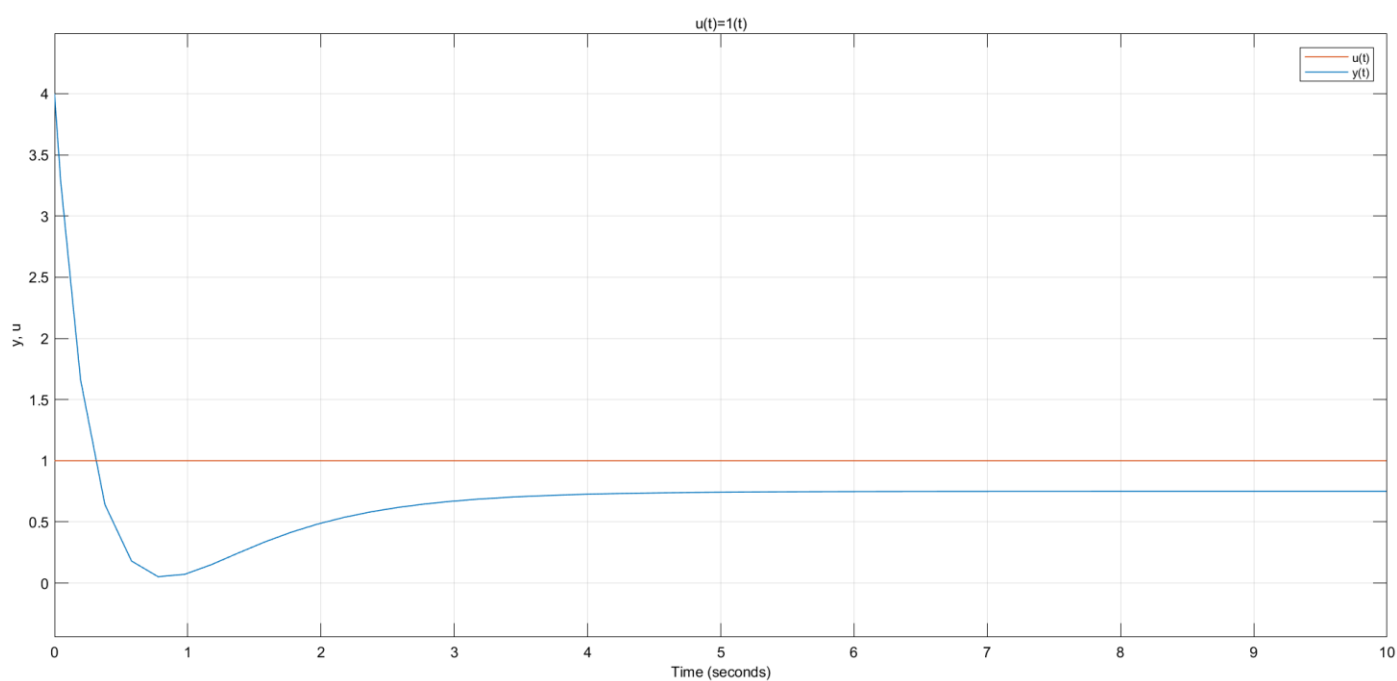


Рисунок 2: Графики сигналов $u(t)$, $y(t)$ при $u(t) = 1(t)$

График вынужденного движения $y(t)$ начинается с $y(0) = 4$, так как имеется точка разрыва первого рода при $t = 0$, а именно $y(-0) = \{\text{начальные условия}\} = 0$, тогда как $y(0) = 4u(0) = 4$

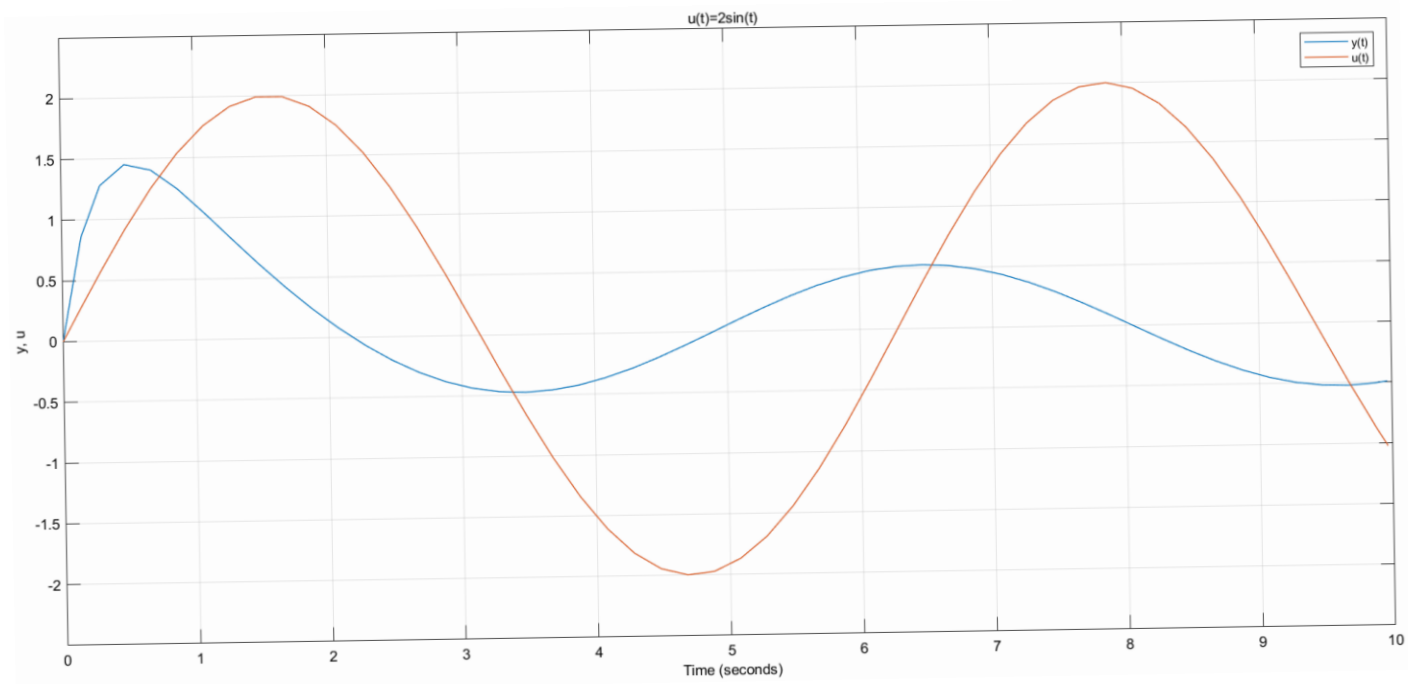


Рисунок 3: Графики сигналов $u(t)$, $y(t)$ при $u(t) = 2\sin(t)$.

1.3.

Расчет начальных значений интеграторов:

$$\begin{aligned}
 z_1 &= y - 4u \\
 z_1(0) &= y(0) - 4u(0) = 1 \\
 z_2 &= \dot{y} - 4\dot{u} - 4 + 4.5y \\
 z_2(0) &= \dot{y}(0) - 4\dot{u}(0) - 4 + 4.5y(0) = 0.2 - 4 + 4.5 = 0.7
 \end{aligned}$$

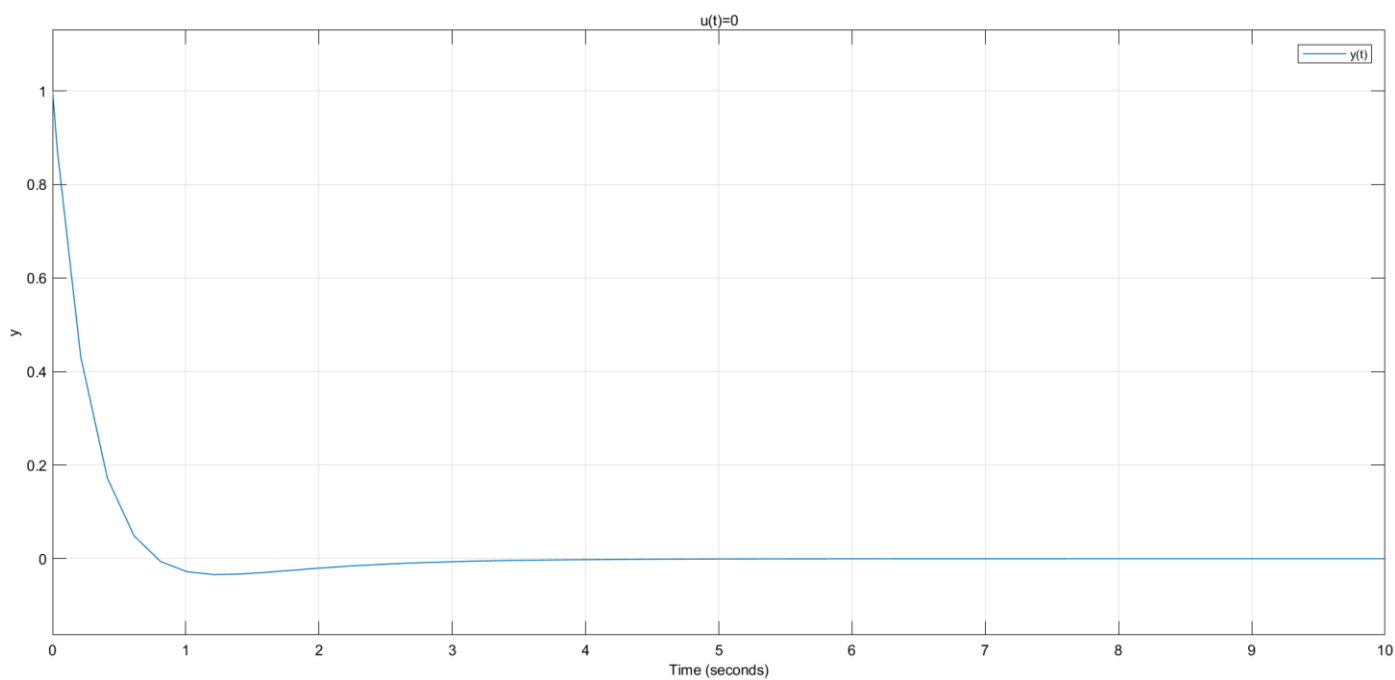


Рисунок 4: График $y(t)$ при свободном движении системы

1.4.

$$A = \begin{bmatrix} p + 16 & p + 7 \\ p + 3 & p + 8 \end{bmatrix}, B = \begin{bmatrix} 9 & 3 \\ 1 & 8 \end{bmatrix}$$

$$A^{-1} = \frac{1}{14p + 107} \begin{bmatrix} p + 8 & -p - 7 \\ -p - 3 & p + 16 \end{bmatrix}$$

$$W = A^{-1} \times B = \frac{1}{14p + 107} \begin{bmatrix} 8p + 65 & -5p - 32 \\ -8p - 11 & 5p + 119 \end{bmatrix}$$

$$Y = W \times B$$

Так как все передаточные функции имеют относительный динамический порядок = 0 и тип Proper, то при вынужденном движении значение выхода при $t = 0$, будет равно $Y(0) = k \cdot U(0)$, где k – матрица 2×2 .

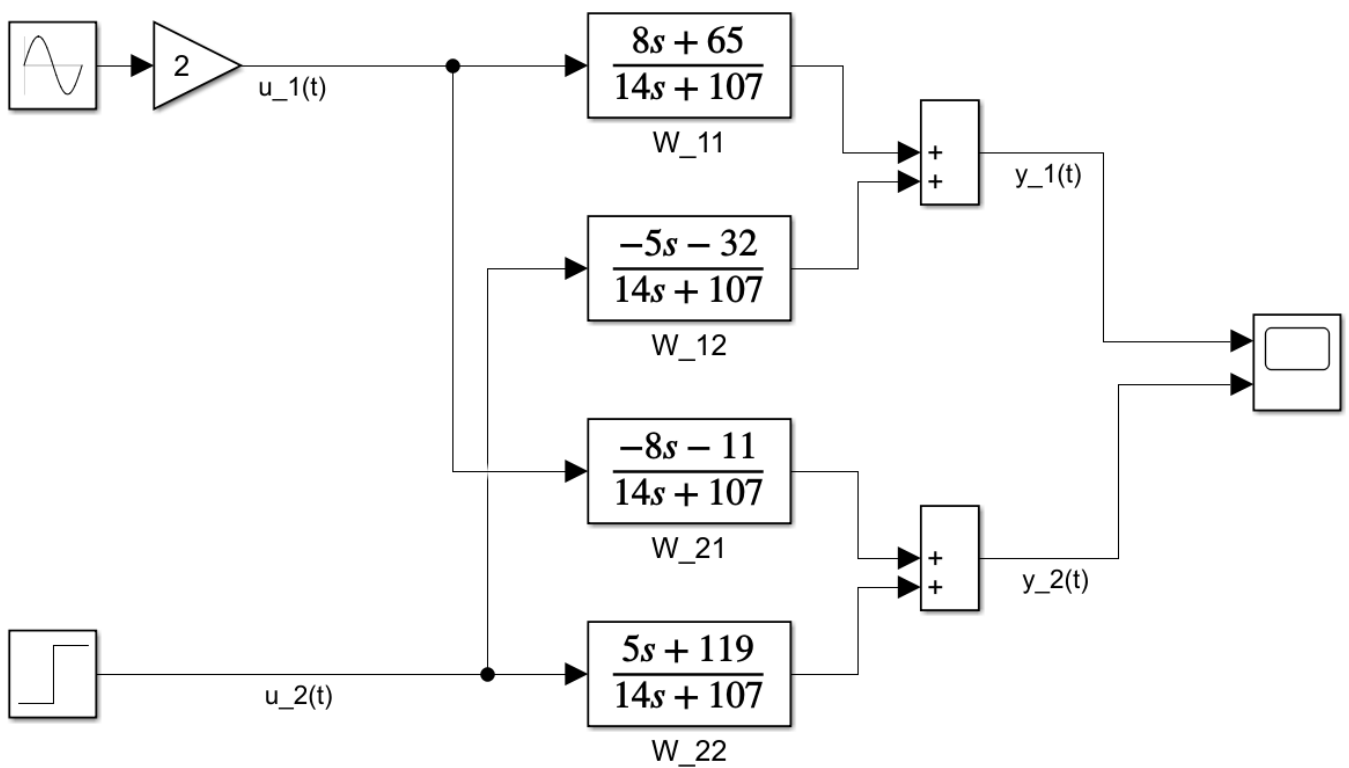


Рисунок 5: Схема моделирования многоканальной линейной динамической системы

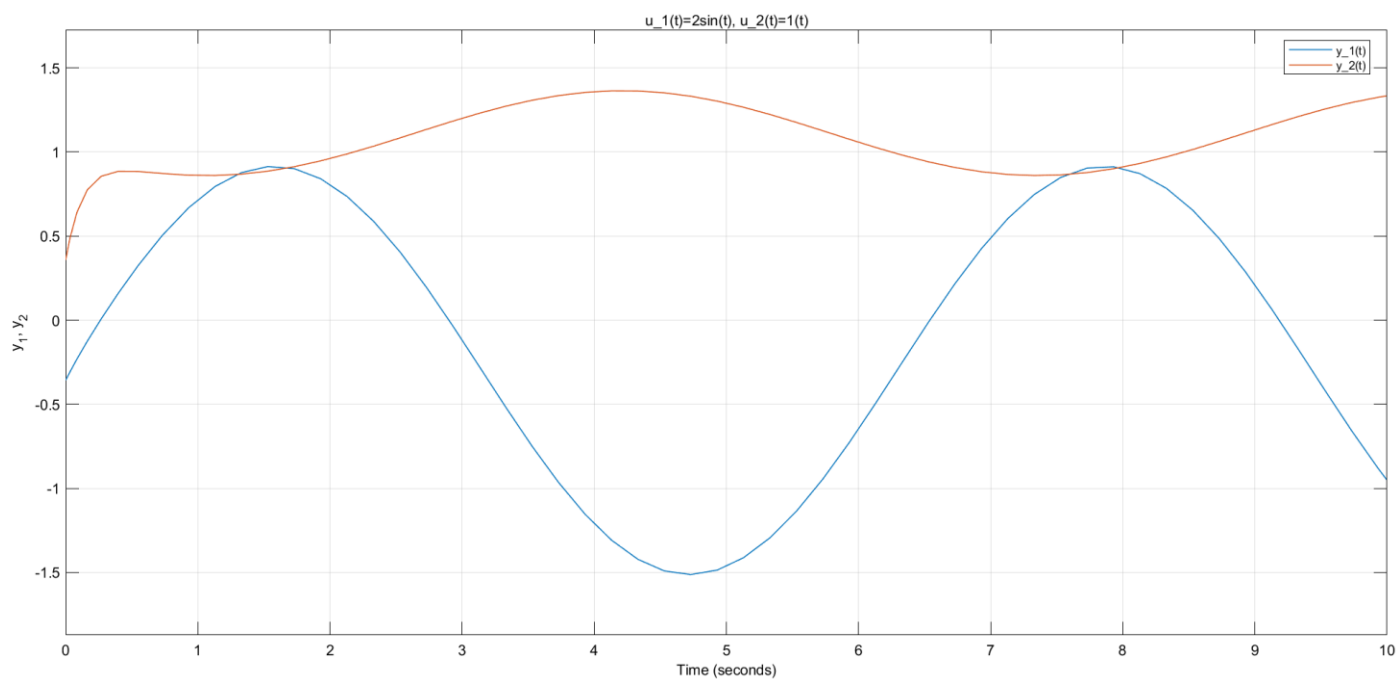


Рисунок 6: Графики $y_1(t)$, $y_2(t)$ для многоканальной системы при входных воздействиях $u_1(t) = 2\sin(t)$, $u_2 = 1(t)$ и нулевых начальных условиях

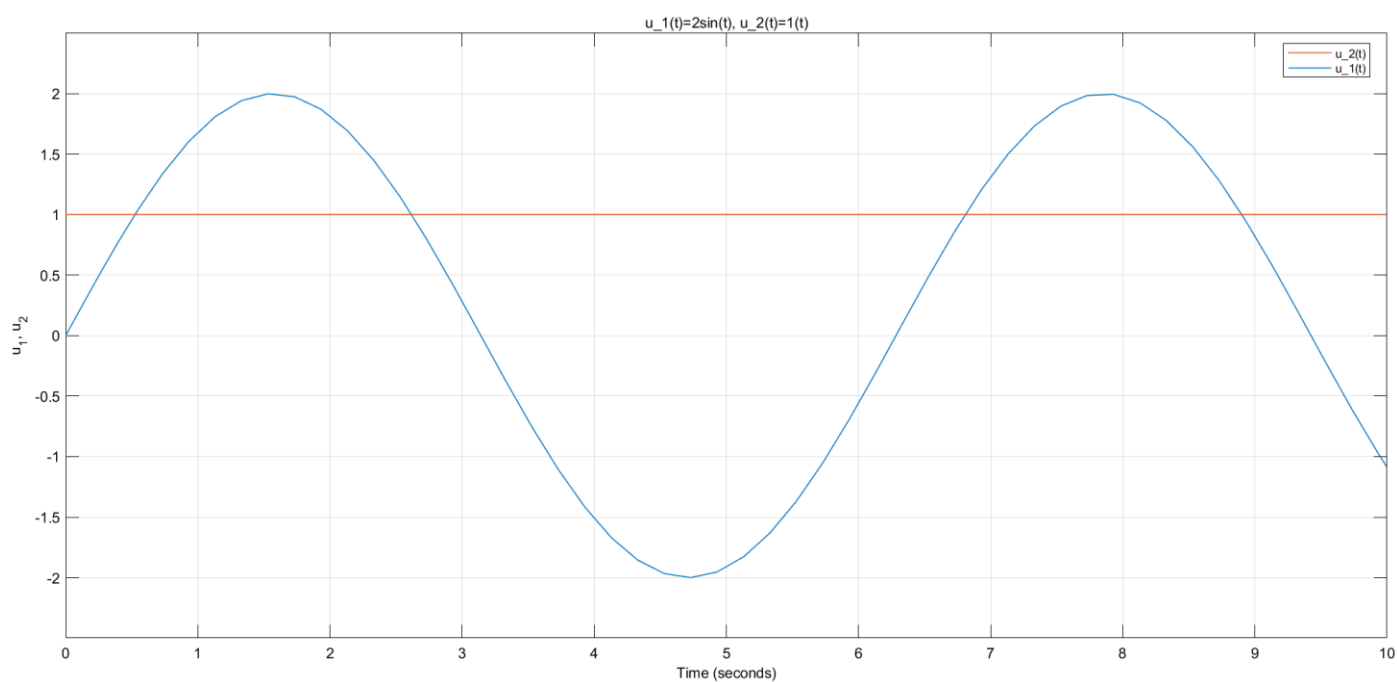


Рисунок 7: Графики входных воздействий $u_1(t) = 2\sin(t)$, $u_2 = 1(t)$ для многоканальной системы

2. Исследование модели вход-состояние-выход

2.1.

$$\begin{cases} \dot{X} = \begin{bmatrix} 0 & -3 \\ 1 & -4 \end{bmatrix} X + \begin{bmatrix} 3 \\ 7 \end{bmatrix} u, \text{ где } X = \begin{bmatrix} x_1 \\ x_2 \end{bmatrix} \\ y = \begin{bmatrix} 2 & 6 \end{bmatrix} X \end{cases}$$

$$\begin{cases} x_1 = 3 \frac{1}{p} (u - x_2) \\ x_2 = \frac{1}{p} (x_1 - 4x_2 + 7u) \\ y = 2x_1 + 6x_2 \end{cases}$$

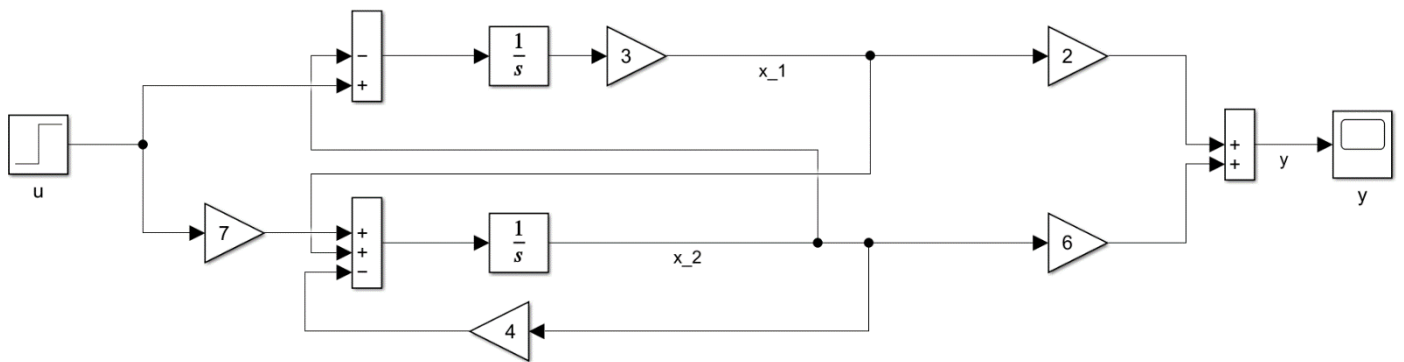


Рисунок 8: Схема моделирования одноканальной линейной динамической системы ВСВ

2.2.

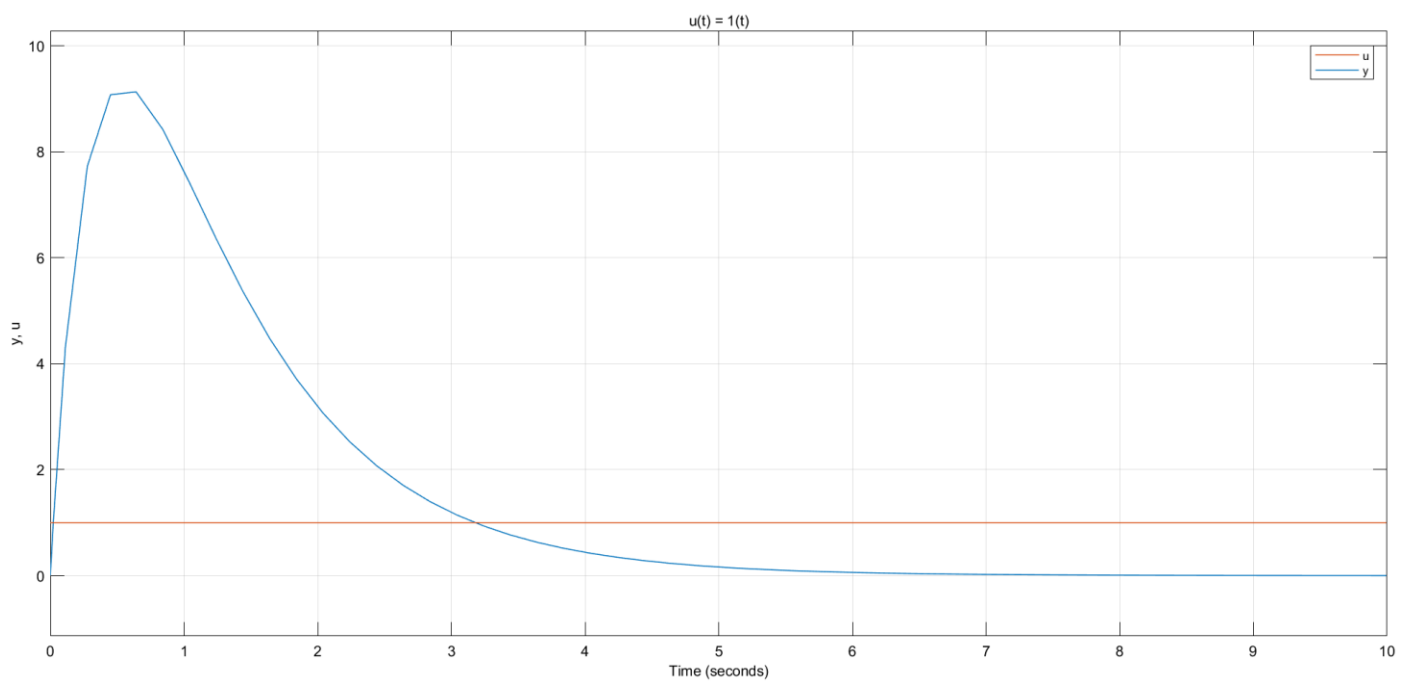


Рисунок 9: Графики сигналов $u(t)$, $y(t)$ при $u(t) = 1(t)$.

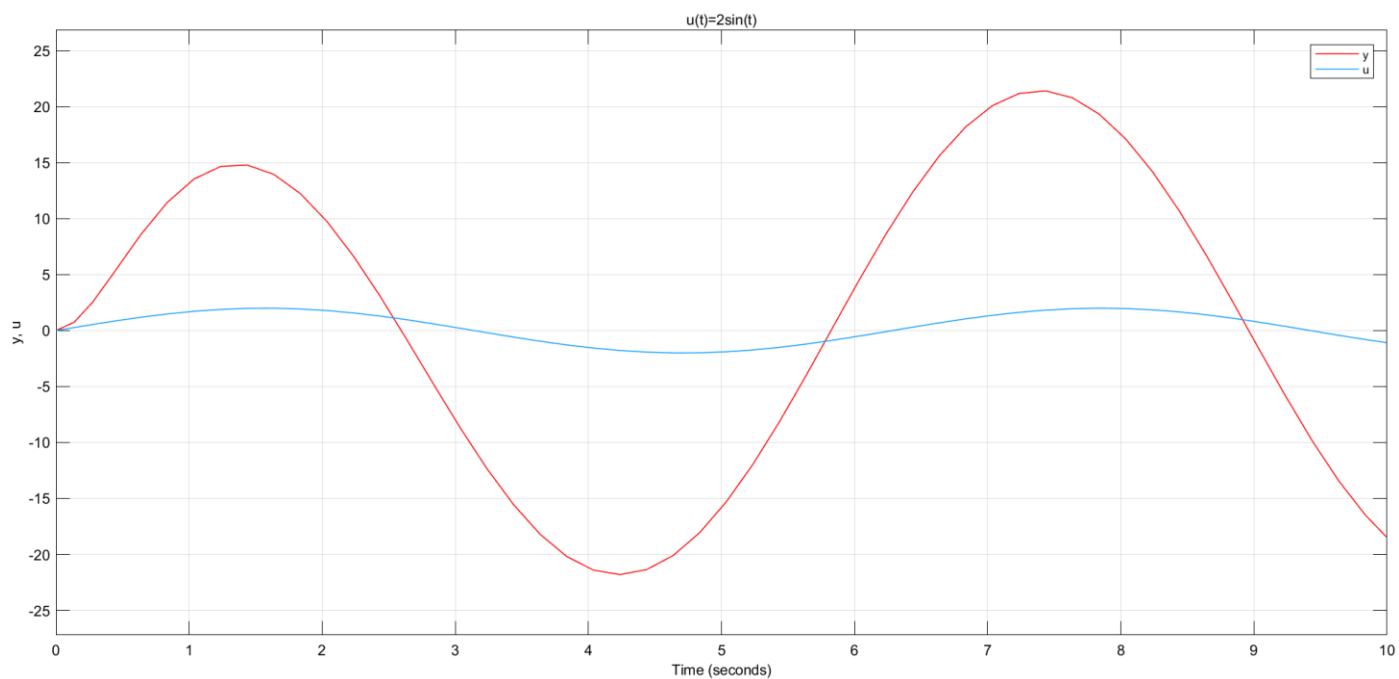


Рисунок 10: Графики сигналов $u(t)$, $y(t)$ при $u(t) = 2\sin(t)$.

2.3.

Расчет начальных значений интеграторов:

$$z_1 = \frac{1}{3}x_1$$

$$z_1(0) = \frac{1}{3}x_1(0) = \frac{1}{3}$$

$$z_2 = x_2$$

$$z_2(0) = x_2(0) = 0.6$$

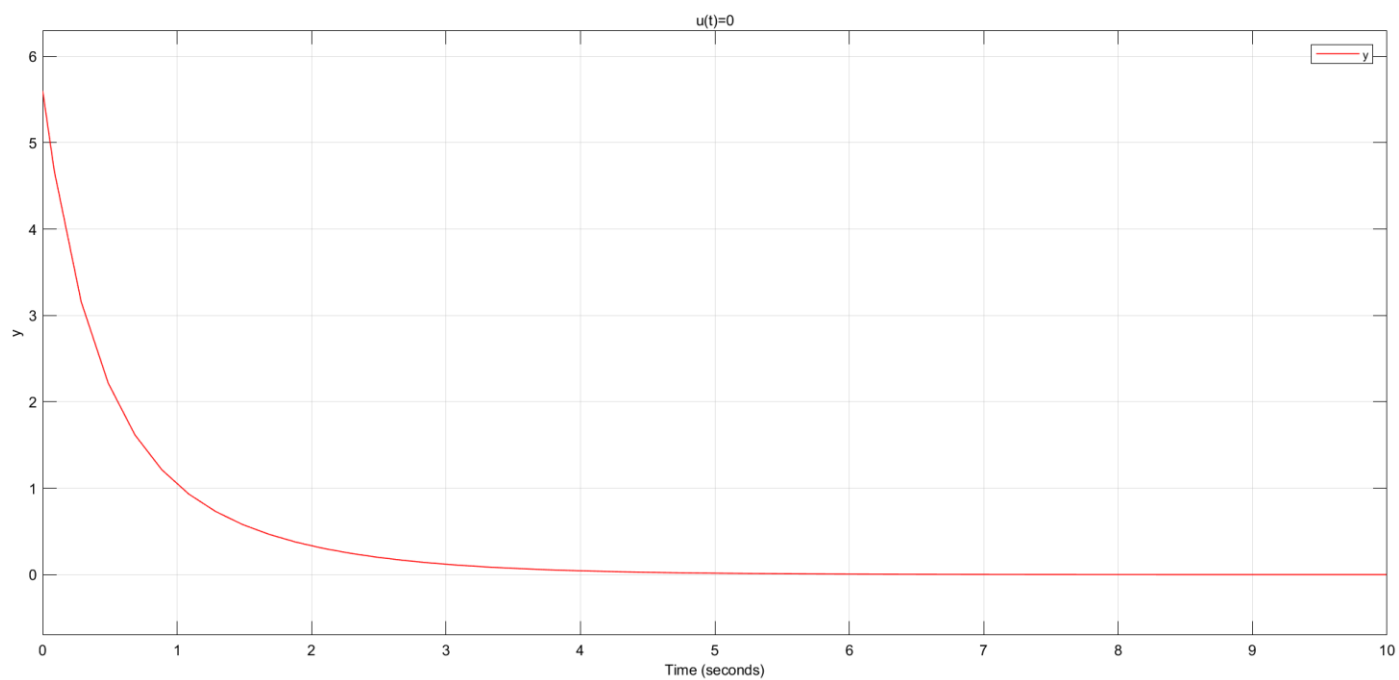


Рисунок 11: График $y(t)$ при свободном движении системы

2.4.

$$A = \begin{bmatrix} 0 & -3 \\ 1 & -4 \end{bmatrix}, B = \begin{bmatrix} 3 & 2 \\ 5 & 1 \end{bmatrix}, C^T = \begin{bmatrix} 2 & 3 \\ 8 & 5 \end{bmatrix}$$

$$\begin{cases} \dot{X} = \begin{bmatrix} 0 & -3 \\ 1 & -4 \end{bmatrix} X + \begin{bmatrix} 3 & 2 \\ 5 & 1 \end{bmatrix} U \\ Y = \begin{bmatrix} 2 & 8 \\ 3 & 5 \end{bmatrix} X \end{cases}, \text{ где } X = \begin{bmatrix} x_1 \\ x_2 \end{bmatrix}, Y = \begin{bmatrix} y_1 \\ y_2 \end{bmatrix}, U = \begin{bmatrix} u_1 \\ u_2 \end{bmatrix}$$

$$\begin{cases} x_1 = \frac{1}{p} (3u_1 + 2u_2 - 3x_2) \\ x_2 = \frac{1}{p} (5u_1 + u_2 + x_1 - 4x_2) \\ y_1 = 2x_1 + 8x_2 \\ y_2 = 3x_1 + 5x_2 \end{cases}$$

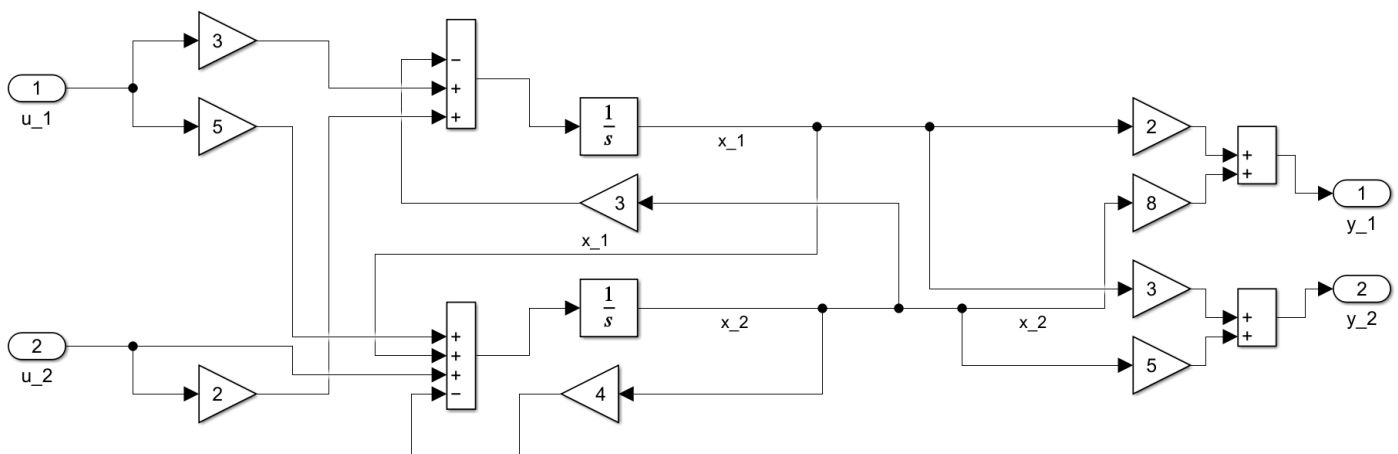


Рисунок 12: Схема моделирования многоканальной линейной динамической системы ВСВ

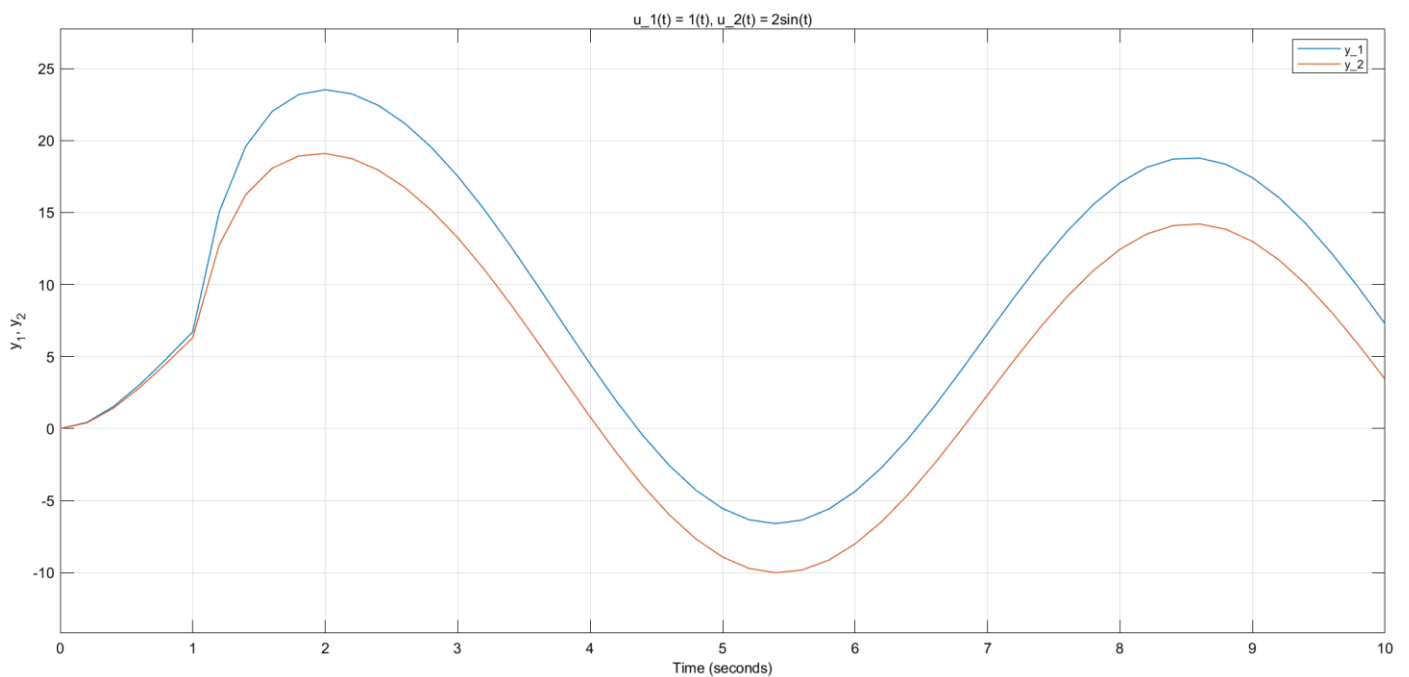


Рисунок 13: Графики $y_1(t)$, $y_2(t)$ для многоканальной системы при входных воздействиях $u_1(t) = 2\sin(t)$, $u_2 = 1(t)$

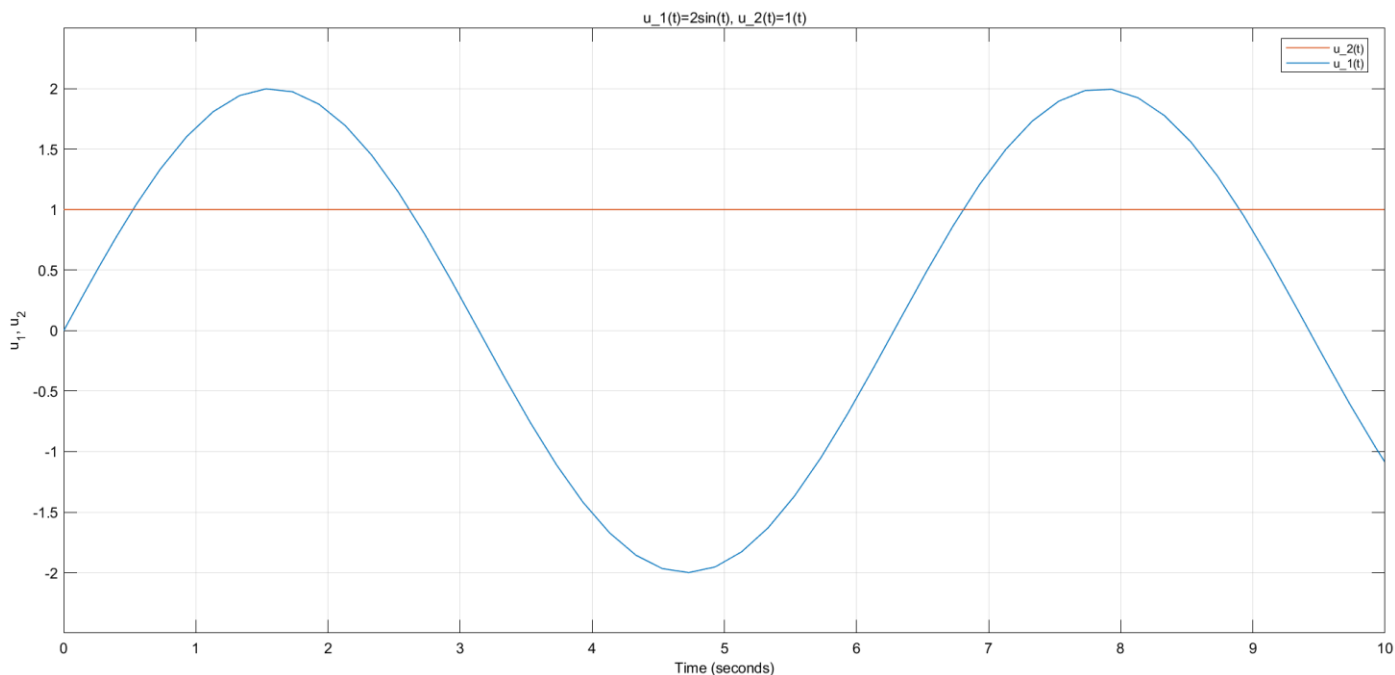


Рисунок 14: Графики входных воздействий $u_1(t) = 2\sin(t)$, $u_2 = 1(t)$ для многоканальной системы

Выводы

В данной лабораторной работе были построены математические модели динамических одноканальных и многоканальных систем в форме ВВ и ВСВ, а также произведено моделирование вынужденного и свободного движений.

В рассмотренных случаях свободного движения (Рисунок 4, 11) функция выхода зависит только от начальных условий, и её передаточная функция имеет вид $W = \frac{k}{q(p)}$.

В случаях вынужденных движений наблюдались два сценария: значение $y(0) = 0$ (Рисунок 3, 10, 13) и значение $y(0) \neq 0$ (Рисунок 2, 6).

- При $y(0) = 0$ системы имели относительный динамический порядок > 0 (вид передаточной функции $W = \frac{h(q)}{q(p)}$), а значит в точке $t = 0$ не было разрыва и $y(-0) = y(0) = 0$.
- При $y(0) \neq 0$ относительный динамический порядок передаточных функций систем был равен 0 (вид передаточной функции $W = n + \frac{h(q)}{q(p)}$, где $n = \text{const}$), следовательно в точке $t = 0$ был разрыв первого рода $y(-0) = 0$, $y(0) = nu(0)$.